

1. 第2章讲了经典控制理论，第3章讲了现代控制理论，它们分别有什么章节知识中用到吗？具体在车辆控制上有什么应用？

经典：PID，ACC

现代：LQR，Traj Tracking

2. 第二章纵向的油门刹车标定表能否讲解一下如何建立：

理想的测试地点是平坦的长直路，且两边没有高大的建筑物遮挡。保证定位精度，这样标定的准确度才够。

标定的主要目的就是为了找到油门，速度，加速度之间的一个对应关系。

<https://zhuanlan.zhihu.com/p/350205427>

- 1) 确定能够使车辆启动的最小油门值 12%，并确定该油门能达到最大速度。
- 2) 确定车子能够达到的最大速度 5.5m/s (20km/h) 时，油门值是多少，如 30%？
- 3) 对 12%~30%进行分档，如果标定速度较快，则以 1%作为递增，速度较慢，则以 2%作为递增。如按照 2%进行递增，分别记录油门值设定为 12%、14%、16%……30%时，能达到的最大速度，单位为 m/s。
- 4) 设定刹车值，刹车值可从 13%或者 15%等开始，以 15、17、20、22、25、27、30、33、35、37、40、45、50、55……80 进行设定，上限设定看刹车实际情况，档 30%就能很快刹停，那只要到 35 左右就可以。
- 5) 分别记录上述值。比方说油门 12%，能达到最大速度为 2m/s，油门 22%达到我们限制的最大速度 5.5m/s，记录表格形式

3. 工程中纯跟踪和斯坦利一般能最高运行速度是多少？

其实一般城市道路可以 cover，具体表现还要和实际调节有关。i.e., 10~15m/s

4. 需要限制转向的角速度吗

需要，结合实际车辆的硬件限制加特定 buffer

5. 角度的方向、范围，怎么运算和限制？

一般限制在 $[-\pi, \pi]$ , Principal Value

6. 拉氏变换的式子  $f(s)$  怎么变成离散化的式子  $f(n)$ ，如： $f(s)=(s-d)/(a*s^2+b*s+c)$  怎么变成  $f(n)$ 、 $f(n-1)$  这样的离散表达式。

$$F(s) = \frac{Y(s)}{U(s)} = \frac{s-d}{as^2+bs+c}$$

$$\Rightarrow Y(s)(as^2+bs+c) = U(s)(s-d)$$

$$a\ddot{y} + b\dot{y} + cy = \dot{u} - du$$

| $G(s)$   | $H(q)$ or the coefficients in $H(q)$  |
|--|---|
| $\frac{(s+c)}{(s+a)(s+b)}$<br>$a \neq b$                 | $b_1 = \frac{e^{-bh} - e^{-ah} + (1 - e^{-bh})c/b - (1 - e^{-ah})c/a}{a-b}$ $b_2 = \frac{c}{ab} e^{-(a+b)h} + \frac{b-c}{b(a-b)} e^{-ah} + \frac{c-a}{a(a-b)} e^{-bh}$ $a_1 = -e^{-ah} - e^{-bh} \quad a_2 = e^{-(a+b)h}$   |
| $\frac{\omega_0^2}{s^2 + 2\zeta\omega_0 s + \omega_0^2}$ | $b_1 = 1 - \alpha \left( \beta + \frac{\zeta\omega_0}{\omega} \gamma \right) \quad \omega = \omega_0 \sqrt{1 - \zeta^2} \quad \zeta < 1$ $b_2 = \alpha^2 + \alpha \left( \frac{\zeta\omega_0}{\omega} \gamma - \beta \right) \quad \alpha = e^{-\zeta\omega_0 h}$ $a_1 = -2\alpha\beta \quad \beta = \cos(\omega h)$ $a_2 = \alpha^2 \quad \gamma = \sin(\omega h)$ |
| $\frac{s}{s^2 + 2\zeta\omega_0 s + \omega_0^2}$          | $b_1 = \frac{1}{\omega} e^{-\zeta\omega_0 h} \sin(\omega h) \quad b_2 = -b_1$ $a_1 = -2e^{-\zeta\omega_0 h} \cos(\omega h) \quad a_2 = e^{-2\zeta\omega_0 h}$ $\omega = \omega_0 \sqrt{1 - \zeta^2}$  |
| $\frac{a^2}{s^2 + a^2}$                                  | $b_1 = 1 - \cos ah \quad b_2 = 1 - \cos ah$ $a_1 = -2 \cos ah \quad a_2 = 1$  |

1 1

7. 第四章的黎卡提方程怎么求解矩阵 P?

- 1) 选择 Q、R 参数矩阵
- 2) 求解 Riccati 方程  $A^T P + PA - PBR^{-1}B^T P + Q = 0$  得到矩阵 P
- 3) 计算增益  $K = R^{-1}B^T P$  得到反馈控制量  $u = -Kx$

8. LQR 中矩阵 P 在离散情况下是怎么求解的，如果他是迭代的那他的初值是什么?

#### 设计步骤

- 确定迭代范围 N
- 设置迭代初始值  $P_N = Q$
- $t = N, \dots, 1$  从后向前循环迭代求解离散时间的代数 Riccati 方程

$$P_{t-1} = Q + A^T P_t A - A^T P_t B (R + B^T P_t B)^{-1} B^T P_t A$$

- $t = 0, \dots, N$  循环计算反馈系数  $K_t = (R + B^T P_{t+1} B)^{-1} B^T P_{t+1} A$  并得到控制量

$$u_t = -K_t x_t$$

9. 第四章的 preview 控制中，为什么要加入道路模型，直接选车辆前方的点进行误差计算，然后再用标准的 LQR 会有什么样的问题?

目的：提高 future 信息量，也更加准确。

会带来的问题：转弯 delay，大 curvature 的路出现 error 偏大的问题。

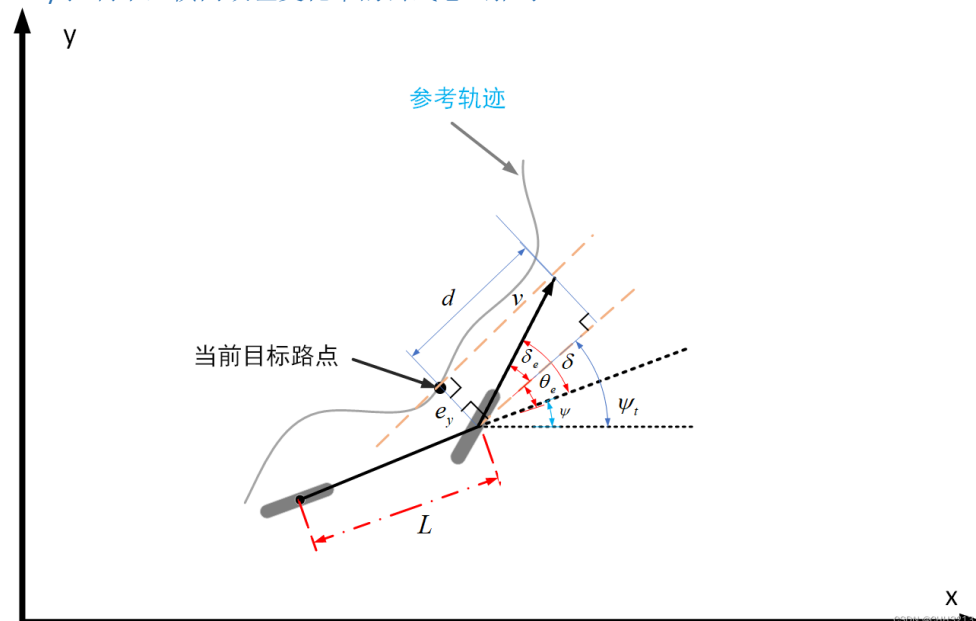
10. 第四章中误差状态方程的右边还有一项关于参考路径的航向角速率，但是 LQR 控制器中并没有考虑他对状态量的影响，那应该如何解决呢

增加前馈

11. 第四章课件中关于横向运动方程的推导过程中很多物理量都是矢量，但是在公式表达上只进行了标量的加减运算，是否应该提前规定物理量的正方向之后在进行标量的加减运算呢

coordinate transformation

12. 请问 stanley 控制中，横向误差变化率的公式怎么推导



横向误差的变化率为

$$\dot{e}_y = -v \sin \delta_e$$

带负号是因为在控制下，横向误差会越来越小，因此横向偏差变化率会有负号。

由几何关系可得：

$$\sin \delta_e = \frac{e_y}{\sqrt{d(t)^2 + e_y^2}}$$

$$\sin \delta_e = \frac{ke_y}{\sqrt{v^2 + (ke_y)^2}}$$

$$\dot{e}_y = \frac{-kve_y}{\sqrt{v^2 + (ke_y)^2}} = \frac{-ke_y}{\sqrt{1 + \left(\frac{ke_y}{v}\right)^2}}$$

当横向跟踪误差  $e_y$  很小时，上式改写为：

$$\dot{e}_y \approx -ke_y$$

积分上式（一阶线性微分方程的求解），得：

$$e_y(t) = e_y(0) \times e^{-kt}$$

所以当  $t \rightarrow \infty$  时，横向误差以指数形式收敛于 0，参数  $k$  决定了收敛速度。

13. MPC 的 terminal cost 遵循的 lyapunov 方程是怎么构建的， Learning-based MPC 是如何把时间当成一个 variable 来更新 terminal cost 和 constrain 的 safe set。

<https://arxiv.org/ftp/arxiv/papers/2212/2212.00361.pdf>

终端集在 MPC 理论中有着重要作用，但在实际工程应用中很多时候没有被采用。我认为这也是导致国内网上资料较少的原因之一。之所以应用较少，是因为当 MPC 的模型和参数设置合理时，大多数情况下不会出现失稳的情况，而且会有不错的表现。

<https://zhuanlan.zhihu.com/p/506347060>

example: [https://github.com/SailorBrandon/MPC-for-Quadrotors/blob/9c60221b052ea10942d0039b1183f16d06b6d2f4/terminal\\_set.py](https://github.com/SailorBrandon/MPC-for-Quadrotors/blob/9c60221b052ea10942d0039b1183f16d06b6d2f4/terminal_set.py)

终端集有三条重要的性质是控制不变性（control invariant），约束容许性（constraint admissible）和李雅普诺夫递减性（lyapunov decrease）。

而这个算法构造控制不变集（control invariant set）的方法核心其实就是每前进一步时，通过求解线性规划（LP）问题检查下一步的所有状态  $X(k+1)$  组成的集合是不是前一步所有状态  $X(k)$  组成集合的子集。如果不是，那么取所有这两步状态集合的交集（通过添加约束）作为当前状态集合，然后用这个集合往后接着推，检查再下一步的所有状态的集合。直到找到连续两步中，后一步的所有状态  $X(k+1)$  组成的集合完全包含于前一步所有状态组成的集合，则前一步所有状态  $X(k)$  组成的集合为控制不变集。

生成终端集具体算法如下：

---

**Algorithm 1:** Estimate Set  $\mathbb{X}_f$

---

**Result:**  $Hx \leq h$  representing  $\mathbb{X}_f$

**Initialization:**

$$A_K := A - BK$$

$K :=$  LQR optimal gain

$$K_{\text{aug}} := [K; I]$$

Set  $k := 0$

**Iteration:**

**For all**  $i = 1, 2, \dots, s$

$$x_i^* := \begin{cases} \underset{x}{\operatorname{argmax}} f_i(K_{\text{aug}} A_K^{k+1} x) \\ \text{s.t. } f_j(K A^t x) \leq 0 \quad \forall j \in \{1, 2, \dots, s\}, \\ \quad \quad \quad \forall t \in \{0, 1, \dots, k\} \end{cases}$$

**end**

**if**  $f_i(K_{\text{aug}} A_K^{k+1} x) \leq 0 \quad \forall i \in \{1, 2, \dots, s\}$   
**then**

$$\mathbb{X}_f := \{x \in \mathbb{R}^n \mid f_i(K_{\text{aug}} A_K^t x) \leq 0 \quad \forall j \in \{1, 2, \dots, s\}, \\ \quad \quad \quad \forall t \in \{0, 1, \dots, k\}\}$$

**else**

set  $k := k + 1$  and continue

---

其中 $f_i$ 表示第 $i$ 个线性约束函数，即 $H_i x$ 。 $H$ 是包含了所有终端线性不等式约束函数的矩阵，它的行数等于约束的个数，列数等于状态变量的个数。终端集 $\mathbb{X}_f$ 为线性不等式约束 $Hx \leq h$ 下的集合。可以看出，每个线性不等式约束相当于状态空间中的一个超平面。又由于 $\mathbb{X}_f$ 为紧集，最后形成 $\mathbb{X}_f$ 的形状是用多个超平面围出来的一个高维度多面体 (Polyhedron)。多面体中的所有点（状态 $x$ ）满足终端集性质。

李雅普诺夫递减性证明：

考虑 LTI 系统状态空间方程：

$$x_{k+1} = Ax_k + Bu_k$$

和二次状态代价函数：

$$l(x, u) = \frac{1}{2}(x^T Qx + u^T Ru)$$

其中  $(A, B)$  可控,  $Q, R$  正定。对于此系统考虑无限阶段 (infinite horizon) 的无约束 (uc) 优化问题：

$$\mathbb{P}_\infty^{\text{uc}}(x) : \min_u \sum_{k=0}^{\infty} \ell(x(k), u(k))$$

根据离散代数黎卡提方程 (DARE), 具体推导过程请参考第二章：

$$P = A_K^T P A_K + Q_K > 0$$

其中  $P > 0$  正定。  $A_K = A + BK$  (有些资料写的是  $A - BK$ , 是因为这里取  $K$  的时候将前边的负号也算上了),  $Q_K = Q + K^T R K$ ：

$$x_{k+1} = (A + BK)x_k = A_K x_k$$

$$l(x_k) = \frac{1}{2}x_k^T (Q + K^T R K)x_k = \frac{1}{2}x_k^T Q_K x_k$$

此时输入  $u = Kx$  为状态反馈。  $K$  为无约束 LQR 控制增益矩阵：

$$K = -(B^T P B + R)^{-1} B^T P A^T$$

求解上述 DARE 方程, 将  $P$  作为终端代价函数的二次型矩阵：

$$V_f(x) = \frac{1}{2}x^T P x$$

当 MPC 控制状态进入终端集后, MPC 的终端代价函数  $V_f$  和 LQR 代价函数相同。二者都会找到  $V_f$  作为代价函数的最优解, 所以 MPC 控制输入会和无约束 LQR 控制输入相同, 即  $u = Kx$ 。

对于任意对于终端集中任意状态  $x_k$ , 下一步的终端代价  $V_f(x_{k+1})$  为：

$$V_f(x_{k+1}) = V_f(A_K x_k) = \frac{1}{2}x_k^T (A_K^T P A_K)x_k = \frac{1}{2}x_k^T (P - Q_K)x_k$$

所以满足李雅普诺夫递减性：

$$V_f(x_{k+1}) = \frac{1}{2}x_k^T (P - Q_K)x_k = V_f(x_k) - l(x_k)$$